



## 平成 16 年度 SGST 第 3 回研究会 議事録

日時 : 平成 16 年 8 月 24 日(火) 15:00~17:00

場所 : 大同工業大学 滝春校舎 A 棟 14 階 会議室

講師 : 古田秀博氏 (株式会社横河技術情報 取締役)

出席者 : 安藤(瀧上), 海老澤(名工大), 小川(名古屋道路エンジ), 加藤(中日本建設 C), 亀子(瀧上), 事口(大同工大), 佐藤(中日本建設 C), 鷺見(八千代), 園部(JIP), 田中(JIP), 林(協和 C), 原田(創建), 深田(金沢大), 藤澤(日本建設 C), 酒造(大同工大), 水澤(大同工大), 山田(トピー), 吉田(川田), 竹市(名古屋道路エンジ), 山田(協和 C), 20 名(敬称略)

### 1. 定期研究会 (水澤研究会担当幹事)

講演「FEM 解析の適用技術と FEM 解析ツールの最近の動向」

(株式会社 横河技術情報 取締役 古田秀博氏)

#### 講演内容

1. 鋼構造や合成構造への適用
2. 機械部品への適用事例
3. 解析ツールの製造・販売元の動き
4. 最近のモデリング技術と解析技術の状況

最近では FEM における解析機能やソルバーの大幅な性能向上などの新しい動きが鈍くなっている。業界では CAD の会社とソルバーの会社の資本提携や買収などが顕著になっており、憂慮すべき事態である。

しかしながら、通常の構造物や部品の解析に関する現場への適用は着実に進行しており、技術の浸透という点では望ましい状況担ってきていることも事実である。

このような観点から、FEM の適用事例紹介、業界動向の詳細、モデリング技術の説明等の講演があった。

今後は、解析機能が 3 次元 CAD の機能の一部になる、メッシングが開発会社の技術の見せ所となる、解析技術は徐々に主役ではなくなっていくであろうといった見解が紹介された。

### 2. 懇親会を行った。

以上//

## 講演題目：「FEM解析の適用技術とFEM解析ツールの最近の動向」

講演： 古田秀博 株式会社横河技術情報 取締役

略歴：昭和 29 年和歌山県生まれ、昭和 52 年愛知工業大学卒業、昭和 54 年名古屋大学大学院修了、昭和 54 年横河橋梁製作所入社、昭和 59 年株式会社横河技術情報に転籍、平成 16 年株式会社横河技術情報・取締役、現在に至る。

キーワード： 鋼構造物、FEM、モデル化、解析ツール、

### 講演内容：

1. 鋼構造や合成構造への適用
2. 機械部品への適用事例
3. 解析ツールの製造・販売元の動き
4. 最近のモデリング技術と解析技術の状況

### 講演概要：

解析に関わる解析機能やソルバーの大幅な性能向上などの新しい動きが、ここ最近鈍いように感じている。聞こえてくるのは、CADの会社とソルバー関連の会社の資本提携や買収などの話ばかりである。残念な話ではあるが、通常の構造物や部品の解析に関するFEMの理論的な研究はある面で既に完成状態にあり、新しいテーマが見付からないことにも原因があるろう。ただし、このFEM解析を如何に現実の問題に適用していくかについて、現場での活動は着実に進行しており、技術の浸透という面では望ましい状況にあると思う。ここでは、技術的にはオーソドックスな機能を用いて特殊な構造物や部品を解析するための工夫点について事例を用いて説明する。さらに、解析ソフトウェアを製造・販売している会社の最近の動向、モデリングのための新しい手法、解析技術の改善などについて紹介する。

### 開催団体： 東海構造研究グループ(Study Group of Structures in Tokai)

東海構造研究グループは、官学民の枠を外し、土木構造に関するあらゆる領域について研究する団体です。構造に関する諸団体（官公署、企業）および構造に関する業務あるいは研究に携わる大学、個人により構成されています。立場を異にする会員間の相互理解や親睦を深めるのにも大きな役割を果たしています。昭和 53 年創立。年 6 回の定期研究会の他、3 つのワーキンググループ活動、特別講演会等を行っております

SGST定期研究会—FEM解析の適用技術とFEM  
解析ツールの最近の動向—

- はじめに
- 本州四国連絡橋、Cosmos/M、CADによる統合化、ビジネスの転換
- 橋梁構造物の解析—最近の解析事例を基にしたモデル作成上の工夫点—
- 亀裂、溶接不良、合成構造、波型ウェーブ
- 他分野で解析事例—機械、医療、材料分野—
- モデリング、材料、非線形
- 多分野の考え方や技術を参考に

SGST定期研究会—FEM解析の適用技術とFEM  
解析ツールの最近の動向—

- まとめ
- モデリング作業が最も工数を取る—>>この効率化の動きは速い
- 解析技術の動きは遅い—>>基礎技術の完成。
- FEMの実務への浸透は深まっている—>>操作性・理解性・モデリング作業の改善—>>一般的なツールへ

SGST定期研究会—FEM解析の適用技術とFEM  
解析ツールの最近の動向—

- 事業環境—ソルバー、モデラー、開発会社の動き—  
- 技術の動き
- 会社の動き
- FortranからC++(オブジェクト指向)への乗り換え失敗
- 解析機能が3DソリッドCADの一機能へ
- 解析技術が主役でなくなる。資本金の差

### 人工関節固定器の応力解析

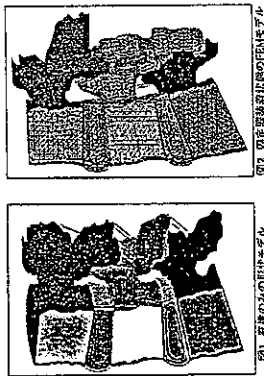


図1 骨髄の形状モデル

### 他分野で解析事例

機械、医療、材料分野

### 人工関節固定器の応力解析



図6 固定器ありの骨髄のMises応力分布

### 振動吸収ゴムダンパの応力解析

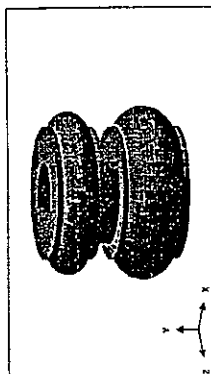


図1 全体モデル

### ブレーキディスクの応力解析

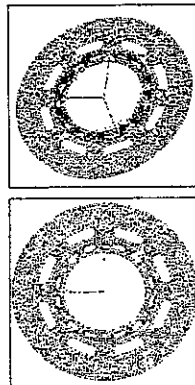


図1 モデル図

図2 ホール中心部を詳細化しての応力分布

解析結果  
 ① 固定器を装着することにより、変形拘束効果が生じていることがわかった。図3に固定時の変形分布図を示す。  
 ② 固定器の骨髄によるSL4-5間の骨間距離の応力変化グラフを図4、図5に示す(図中、骨=直立、骨=傾曲、骨=傾曲、骨=傾曲)。グラフより、グラフが傾斜し、骨間距離の応力が増加する。このグラフにより、固定器を装着することにより、骨間距離の応力が増加することがわかる。  
 ③ 固定器を装着した際の骨髄のMises応力分布図を図6に示す。固定器への応力集中はMises応力で140MPaであり、骨髄は150~500MPaに及ぶとされている。

### 振動吸収ゴムダンパの応力解析

解析目的  
 ① 材料特性を考慮した振動吸収ゴムダンパの応力解析を行う。形状の異なる2種類のモデルを解析し発生応力の比較検討を行う。  
 解析条件  
 ① 下部のみ付け半程の異なる2つのモデルを使用する。(図2、3)  
 ② Moonsg-Rubin非線形モデルを使用する  
 ③ 上下端部を固定とし、中央部に強制変位を与える。(図4)  
 解析結果  
 ① それぞれのモデルのVon-Mises応力分布および変形形状。(図5、6)  
 ② 下部のみ付けた3点に着目し応力値を比較する。(表1)  
 ③ 両モデルに比べモデル2は約50%応力値が低下することが確認できた。

### 解析目的

① 結果裏面に使用されるブレーキディスクの応力解析を行う。2種類の荷重に対する異なる変形状態を把握することを目的とする  
 解析条件  
 ① 全体モデルを使用する。(図1)  
 ② ホール中心部を固定として拘束条件を設定する。(図2)  
 ③ ディスク回転軸方向に荷重1を載荷する。(図3)  
 ④ 回転軸方向に荷重2を載荷する。(図4)  
 解析結果  
 ① それぞれの荷重での変形形状および応力分布図を図5、6に示す。

### 人工関節固定器の応力解析

解析目的  
 ① L3-5間の骨髄に可動人工関節固定器を装着。固定器の骨髄による変形、応力の差異を、直立、傾曲、伸張の3状態で比較する。  
 解析条件  
 ① L3-5間の骨髄のみをモデル化。L3-5に人工骨間距離固定器を装着したモデルを1/2モデルで。  
 ② 骨髄は、0.01mmの厚さを示し、弾性率と弾性係数の2層構造による3次元CADでモデリング。人工骨間距離固定器も3次元CADでモデリング。弾性係数と弾性率をそれぞれ2層構造でモデリング。  
 ③ 骨髄、人工関節固定器は四面体要素、骨間距離固定器は線形要素の四面体要素を使用。各層要素の厚さを、骨髄と人工関節固定器の骨髄層、人工関節固定器の可動部には材料属性を設定。  
 ④ 拘束条件は、L5下面を完全固定し、L3上面に拘束条件を設定。

### 人工関節固定器の応力解析

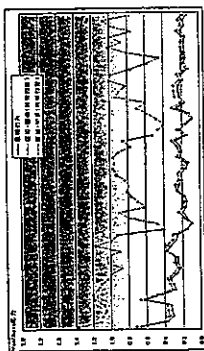


図4 固定器ありの骨髄の応力

### 振動吸収ゴムダンパの応力解析

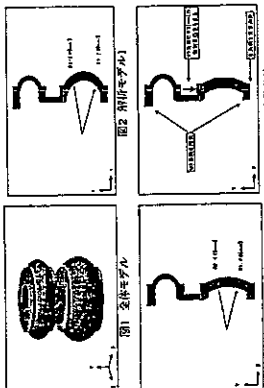


図3 固定器あり

### 人工関節固定器の応力解析

① 骨髄は表1に示す荷重項目を考慮。

状態	体重	モーメント	軸核圧力
直立	○	—	○
傾曲	○	正	○
伸張	○	負	○

表1 骨髄に考慮した荷重の種類

### 人工関節固定器の応力解析

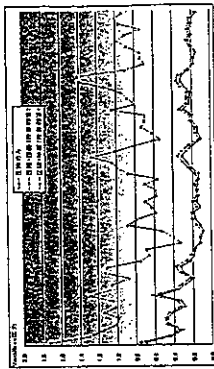


図5 固定器ありの骨髄の応力

### 振動吸収ゴムダンパの応力解析

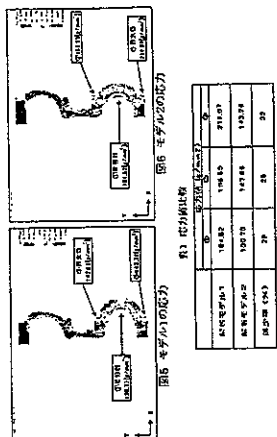


図3 モデルの応力

図4 モデルの応力

図5 モデルの応力

図6 モデルの応力

### ブレーキディスクの応力解析

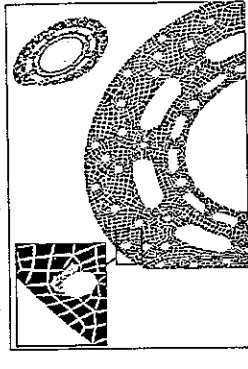
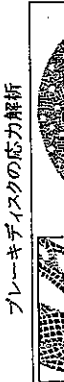


図1 モデル図

図2 ホール中心部を詳細化しての応力分布

### ブレーキディスクの応力解析



### PC筐体内のファンによる冷却シミュレーション



### PC筐体内のファンによる冷却シミュレーション



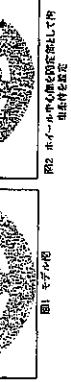


図1 モデル網

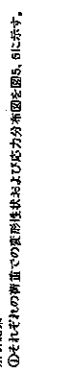
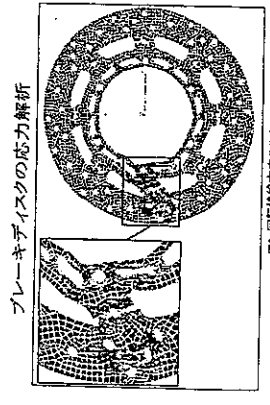
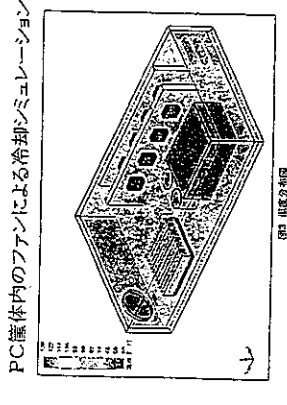


図2 ホールモデルを重心位置で切り出した状態



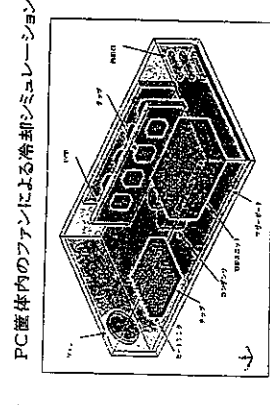
ブレードディスクの応力解析

図26 回転係数方向の応力分布



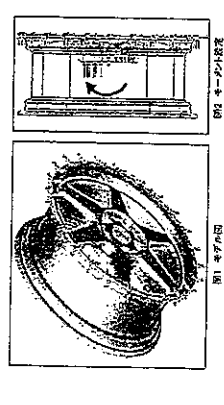
PC筐体内のファンによる冷却シミュレーション

図27 回転係数方向の応力分布



PC筐体内のファンによる冷却シミュレーション

図28 PC筐体ファン部



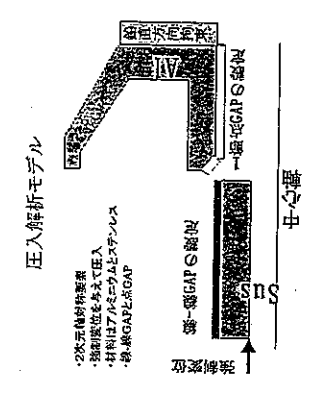
アルミホールの応力解析

図31 ホール部

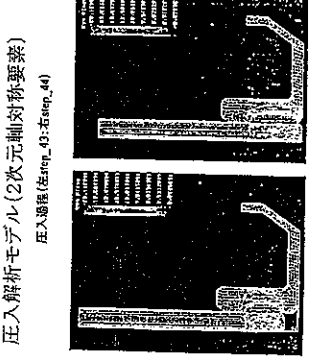
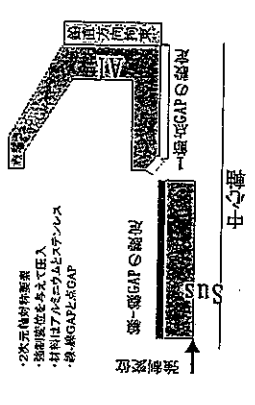


アルミホールの応力解析

図33 モーメント係数方向の応力分布

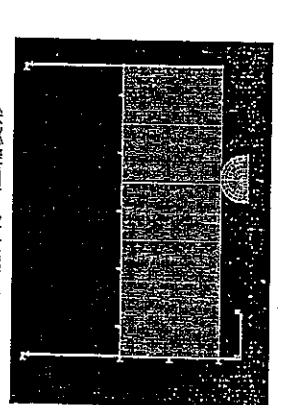


圧入解析モデル



圧入解析モデル(2次元軸対称要素)

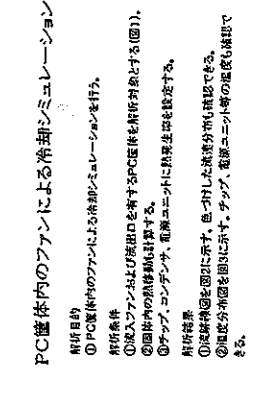
圧入過程 (左: sep\_43; 右: sep\_44)



円柱部材の圧縮変形

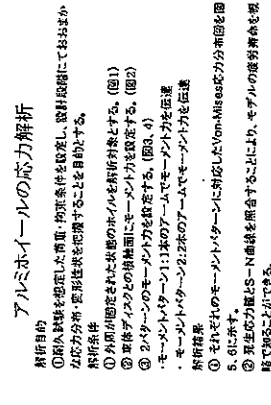


図3 ファン用係数方向、回転係数



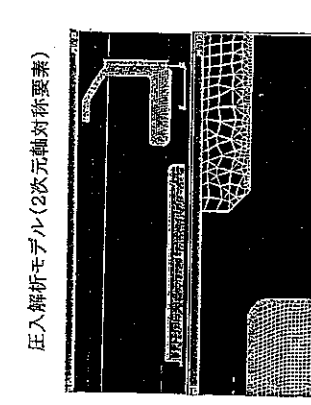
PC筐体内のファンによる冷却シミュレーション

図25 回転係数方向の応力分布

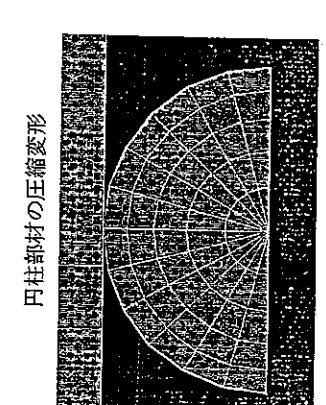
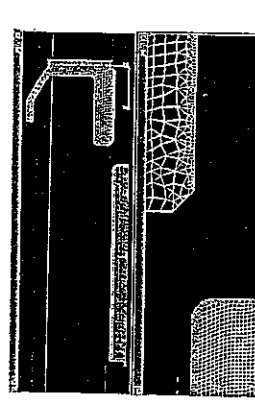


アルミホールの応力解析

図30 モーメント係数方向の応力分布



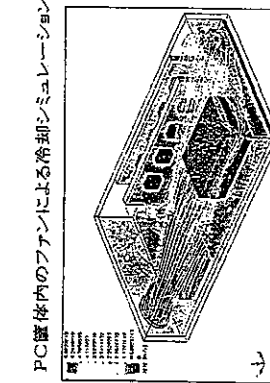
圧入解析モデル(2次元軸対称要素)



円柱部材の圧縮変形

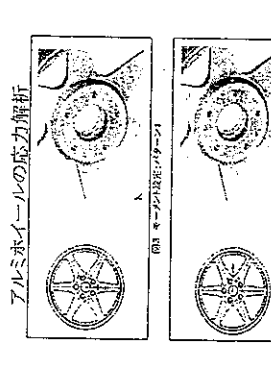


図24 回転係数方向の応力分布



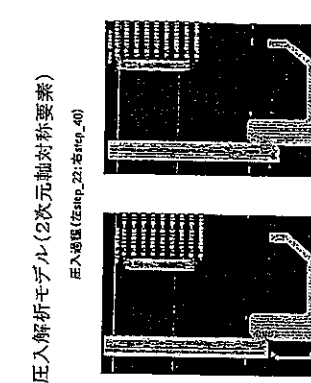
PC筐体内のファンによる冷却シミュレーション

図24 回転係数方向の応力分布

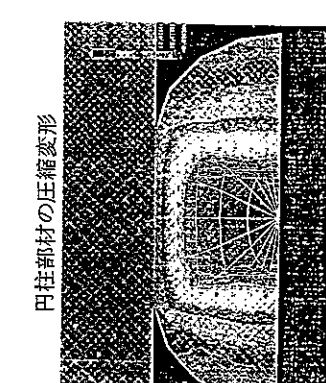
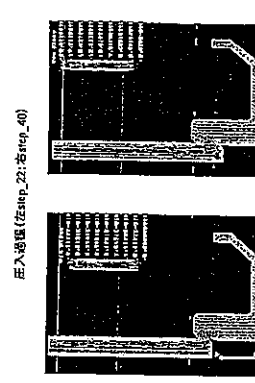


アルミホールの応力解析

図39 モーメント係数方向の応力分布

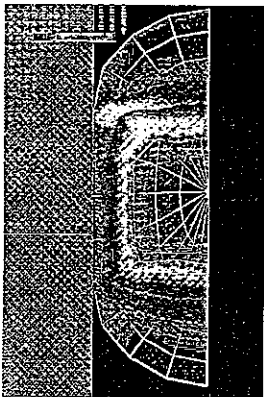


圧入解析モデル(2次元軸対称要素)

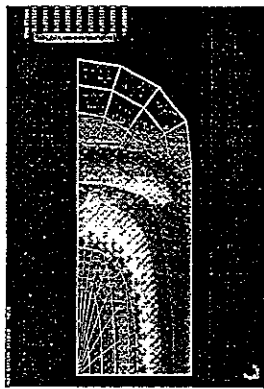


円柱部材の圧縮変形

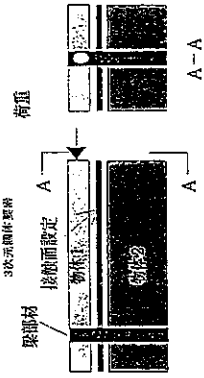
円柱部材の圧縮変形



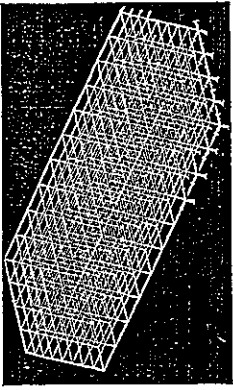
円柱部材の圧縮変形



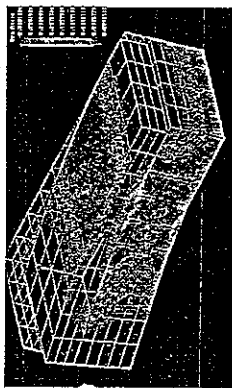
重ね合わせ問題の解析モデル



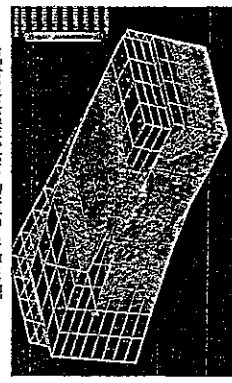
重ね合わせ問題の解析モデル



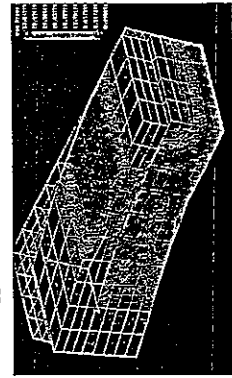
重ね合わせ問題の解析結果(step.1)



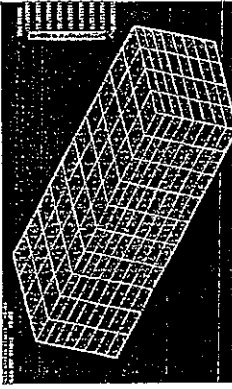
重ね合わせ問題の解析結果(step.4)



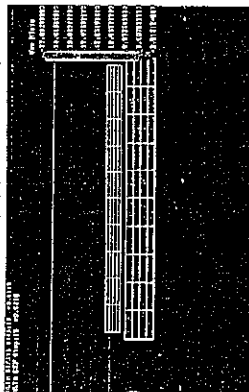
重ね合わせ問題の解析結果(step.7)



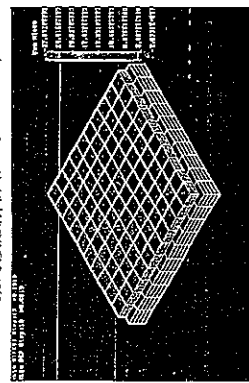
重ね合わせ問題の解析結果(アニメーション)



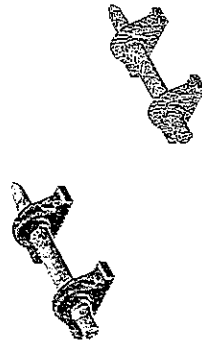
動的接触解析(アニメーション)



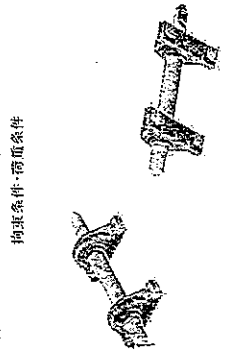
動的接触解析(アニメーション)



立体組み合わせ部材の接触解析(モデル図)

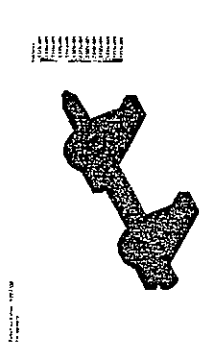


立体組み合わせ部材の接触解析(モデル図)



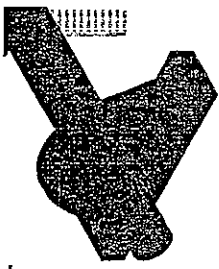
立体組み合わせ部材の接触解析(モデル図)

応力・変形アニメーション(von Mises)

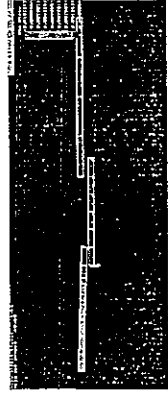


立体組み合わせ部材の接触解析(モデル図)

応力・変形アニメーション(von Mises)拡大図



多段階接触



他分野で解析事例(終了)

会社一筋技術一歩印へ

RC橋脚と桁剛結部の解析

解析目的

・ 鋼桁とRC橋脚間でのスリップシミュレーションを介した剛結部での

RC橋脚と桁剛結部の解析

解析モデル図(全米)

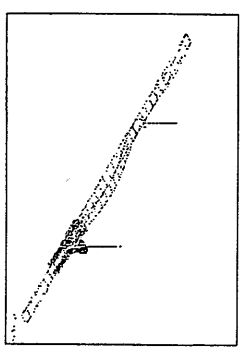
RC橋脚と桁剛結部の解析

・ 第一コンクリートモデル北



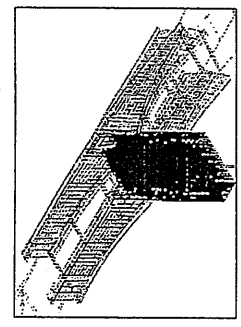
支間全体をモデル化した核合構造

解析結果：全体変形図



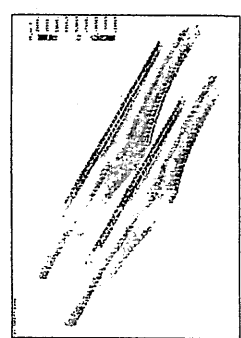
支間全体をモデル化した核合構造

解析結果：着目部変形図



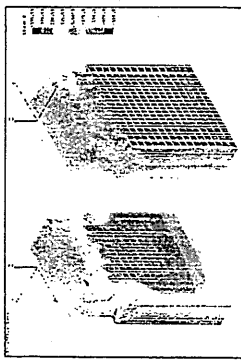
支間全体をモデル化した核合構造

解析結果：主桁橋軸方向応力



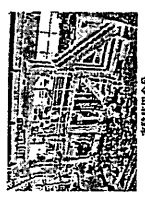
支間全体をモデル化した核合構造

解析結果：コンクリート鉛直方向応力



鋼閉断面複合ラーメン橋剛結部

- 解析目的
  - 閉断面箱桁形式の複合ラーメン橋の實現
  - 鋼主桁とRC橋脚との剛結部における応力伝達
  - 実験との比較



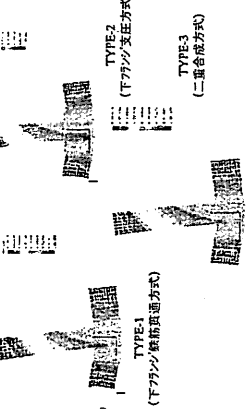
鋼閉断面複合ラーメン橋剛結部

- 解析モデル
  - 線形静解析、1/2対称モデル、
  - 鋼接部：シールド要素、鉄筋：ドラゴ要素、コンクリート：リソド要素（鋼材とコンクリートは剛結）

解析結果	解析結果	解析結果
TYPE 1 (下フランジ鉄筋直交方式)	TYPE 2 (下フランジ実圧方式)	TYPE 3 (二重合成方式)

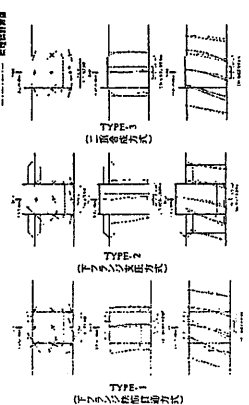
鋼閉断面複合ラーメン橋剛結部

- 解析結果(2) 変形図



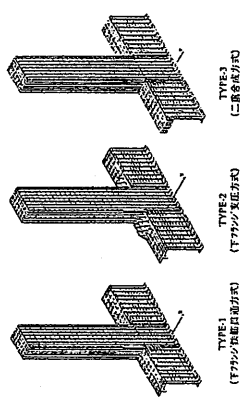
鋼閉断面複合ラーメン橋剛結部

- 解析結果(3) 実験と解析の比較



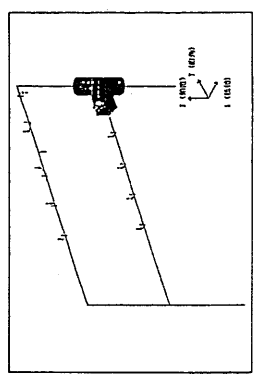
鋼閉断面複合ラーメン橋剛結部

- 解析モデル

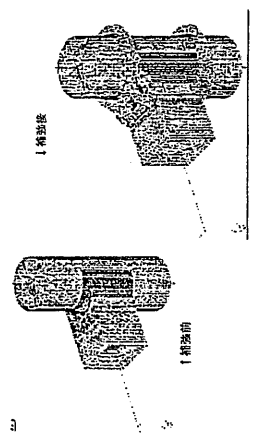


円柱鋼製橋脚の補強解析

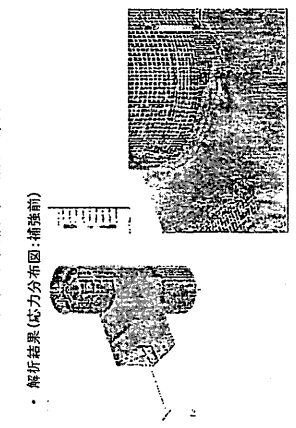
- 解析目的
  - 円柱鋼製橋脚の補強効果を解析により確認する。
- 解析モデル
  - 着目部である隅角部付近の鋼板はシェル要素、非着目部および補強脚の支柱ボルトは梁要素でモデル化
  - 荷重は支床を介した上部工を含む6倍荷重で比較



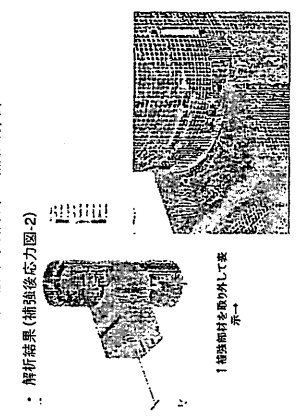
円柱鋼製橋脚の補強解析



円柱鋼製橋脚の補強解析

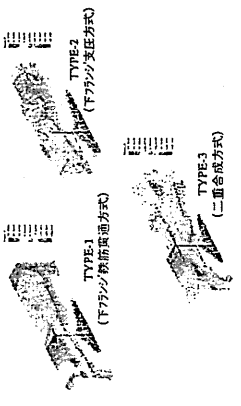


円柱鋼製橋脚の補強解析



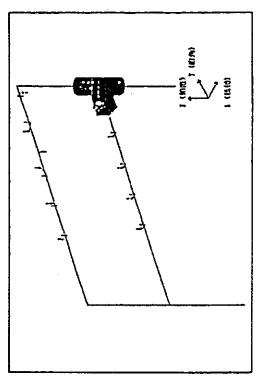
鋼閉断面複合ラーメン橋剛結部

- 解析結果(1) 鉛直方向応力



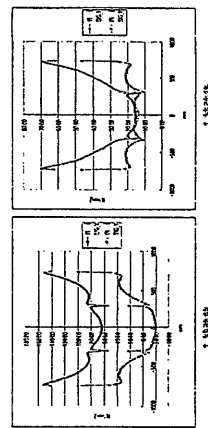
円柱鋼製橋脚の補強解析

- 解析モデル図(全体モデルと荷重載荷図)



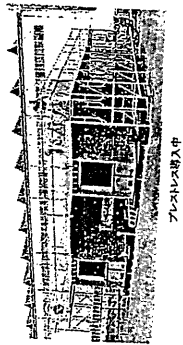
円柱鋼製橋脚の補強解析

- 解析結果：梁上Figの応力比較



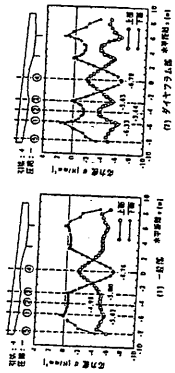
### 鋼箱桁橋によるPC床版

- ・ 実験時の様子



### 鋼箱桁橋によるPC床版

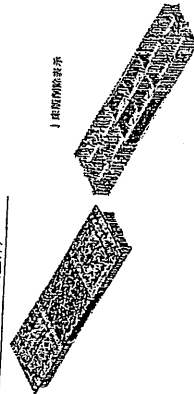
- ・ 解析結果(1)



有効応力度(実験モデル)

### PC鋼材緊張時の横桁・横構拘束による影響

- ・ 解析モデル図(全体)

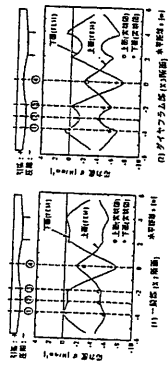


### 鋼箱桁橋によるPC床版

- ・ 解析目的
  - PC鋼材の有効緊張力による床版応力性状の検討
- ・ 解析モデル
  - 鋼箱材(主桁・横桁・垂直補脚材)はシェル要素、コンクリートはリッド要素、PC鋼材は梁要素でモデル化し、鉄筋・頭付メッシュはモデル化なし。
  - 鋼-コンクリートの付着は節点共有による剛接。
  - 境界条件は、床版モデル化した格子解析によるプレストレス導入での変位とFEM境界変位が一致するように設定。

### 鋼箱桁橋によるPC床版

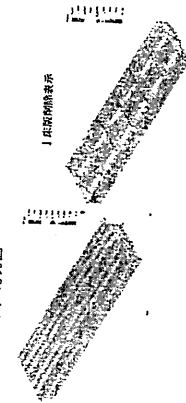
- ・ 解析結果(2)



有効応力度(実験モデル)

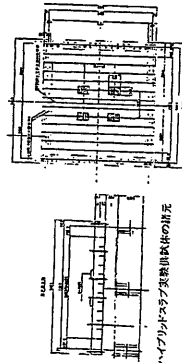
### PC鋼材緊張時の横桁・横構拘束による影響

- ・ 解析結果(1) 応力図



### ハイブリッドスラブ合成床版

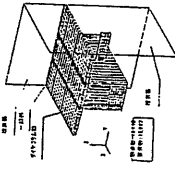
- ・ 解析目的
  - ハイブリッドスラブの完成までの構造特性の把握



ハイブリッドスラブ完成時鉄骨体の出立

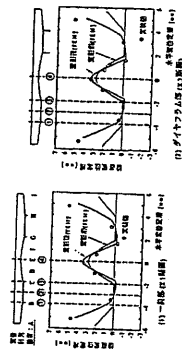
### 鋼箱桁橋によるPC床版

- ・ 荷重条件
  - 有効緊張力(556.4kN)を温度荷重で導入。
- ・ 解析モデル図(実験供試体モデル)



### 鋼箱桁橋によるPC床版

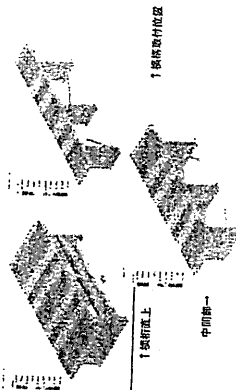
- ・ 解析結果(3)



有効応力度(実験供試体モデル)

### PC鋼材緊張時の横桁・横構拘束による影響

- ・ 解析結果(2) 応力図

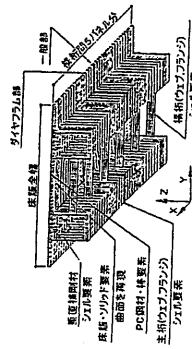


1 横桁部付位置

中間部

### 鋼箱桁橋によるPC床版

- ・ 解析モデル図(実験モデル)



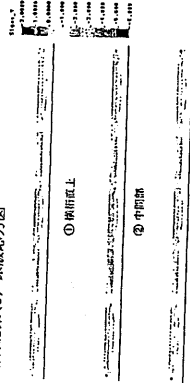
断面数:3,4,2,6,6; 要素数:34,400

### PC鋼材緊張時の横桁・横構拘束による影響

- ・ 解析目的
  - 箇所打ちPC床版のPC鋼材緊張時における横桁・横構による拘束の影響度を調べ
- ・ 解析モデル
  - 床版: リッド要素
  - 主桁・横桁・垂直補脚材: シェル要素
- ・ 著目部以外の慣性: 梁要素
- ・ PC鋼材: トラス要素
- 床版と主桁上フランジは完全剛

### PC鋼材緊張時の横桁・横構拘束による影響

- ・ 解析結果(3) 床版応力図



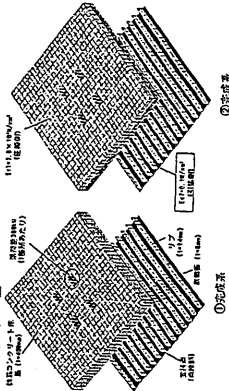
① 横桁直上

② 中間部

③ 横構部付位置

### ハイブリッドスラブ合成床版

- ・ 解析モデル図

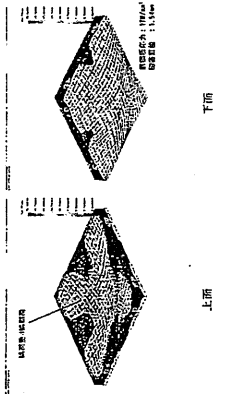


完成前

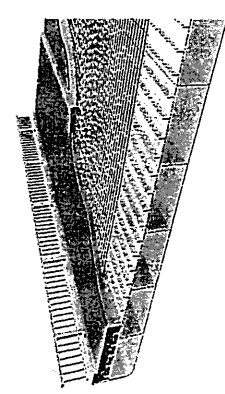
完成時

### ハイブリッドスタブ合成床版

- 解析結果(1) 変形図と応力図(①完成系)

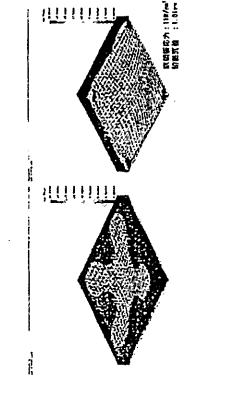


### パワーブリッジ(合成床版橋)

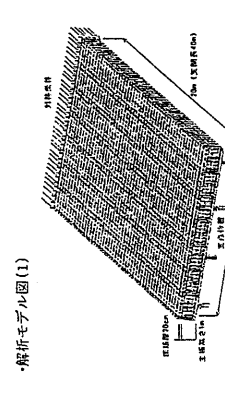


### ハイブリッドスタブ合成床版

- 解析結果(2) 変形図と応力図(①完成系)

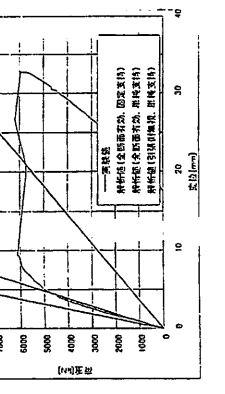


### パワーブリッジ(合成床版橋)

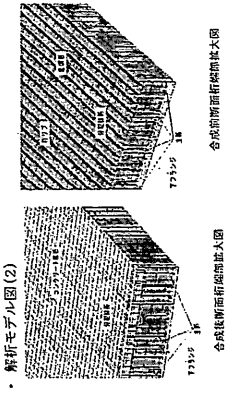


### ハイブリッドスタブ合成床版

- 解析結果(3) 荷重-変位グラフ



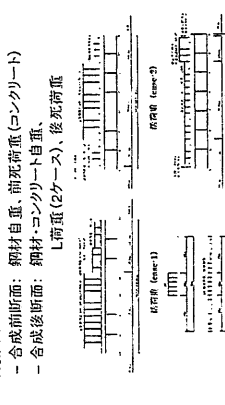
### パワーブリッジ(合成床版橋)



### パワーブリッジ(合成床版橋)

- 解析目的
  - 合成前後での主桁作用による各部材の応力性状の調査
- 解析モデル
  - 鋼材: 4節点シェル要素
  - コンクリート: 8節点シェル要素
  - 鋼-コンクリートの付着は考慮せず
  - 孔明け部はモデル化せず

### パワーブリッジ(合成床版橋)

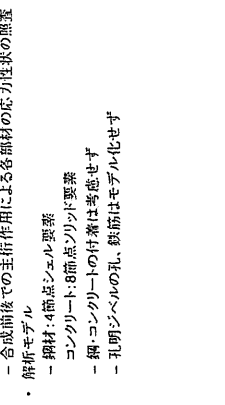


### パワーブリッジ(合成床版橋)

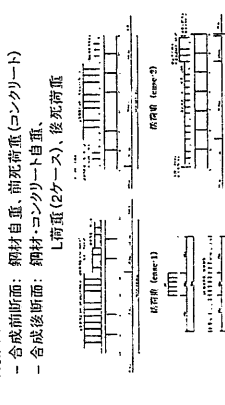
- 荷重条件
  - 合成前断面: 鋼材自重、前死荷重(コンクリート)
  - 合成後断面: 鋼材-コンクリート自重、L荷重(2ケース)、後死荷重

### パワーブリッジ(合成床版橋)

- 解析結果(4) 中立軸位置

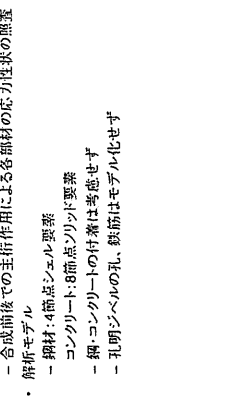


### パワーブリッジ(合成床版橋)

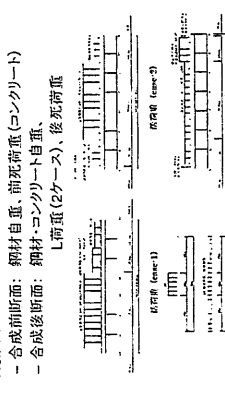


### パワーブリッジ(合成床版橋)

- 解析結果(5) 変形性状

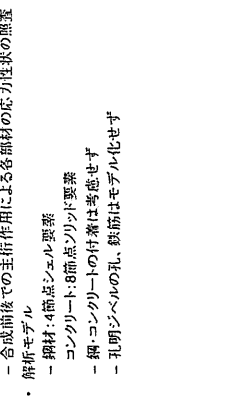


### パワーブリッジ(合成床版橋)

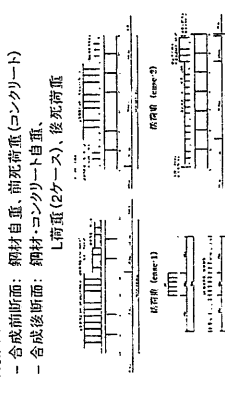


### パワーブリッジ(合成床版橋)

- 解析結果(6) 変形性状

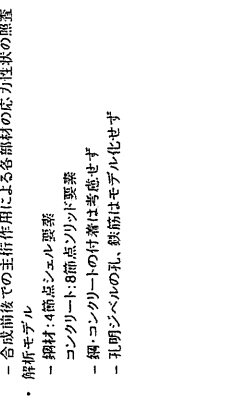


### パワーブリッジ(合成床版橋)

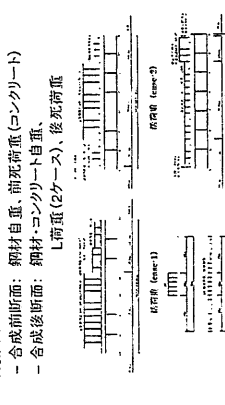


### パワーブリッジ(合成床版橋)

- 解析結果(7) 変形図

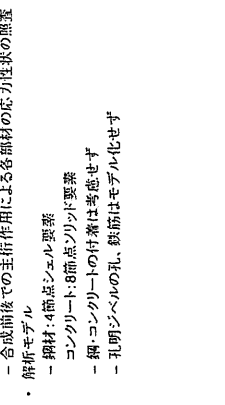


### パワーブリッジ(合成床版橋)

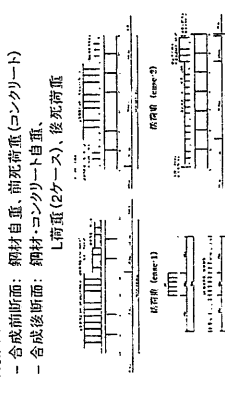


### パワーブリッジ(合成床版橋)

- 解析結果(8) 変形図

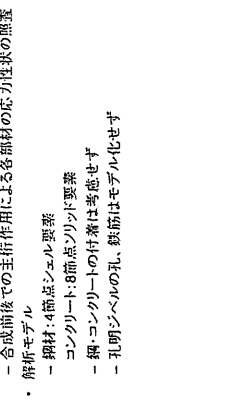


### パワーブリッジ(合成床版橋)

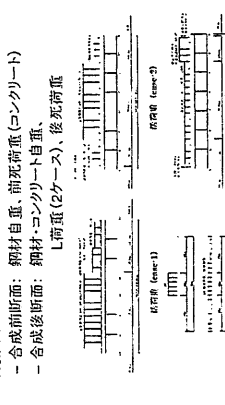


### パワーブリッジ(合成床版橋)

- 解析結果(9) 変形図

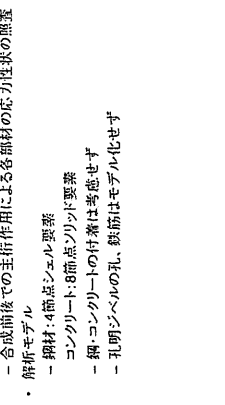


### パワーブリッジ(合成床版橋)

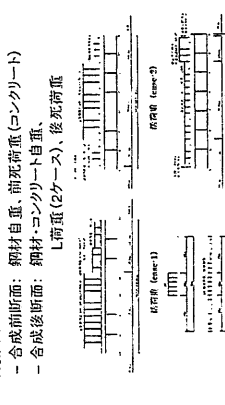


### パワーブリッジ(合成床版橋)

- 解析結果(10) 変形図

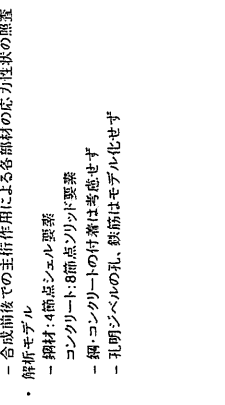


### パワーブリッジ(合成床版橋)

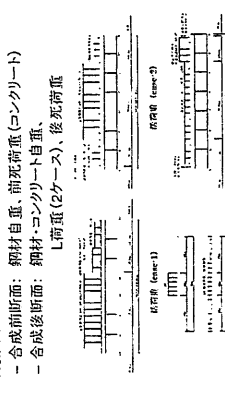


### パワーブリッジ(合成床版橋)

- 解析結果(11) 変形図

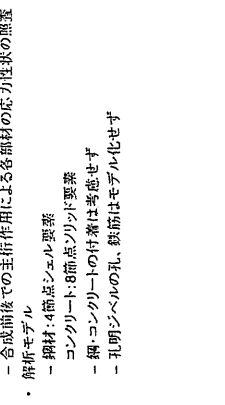


### パワーブリッジ(合成床版橋)

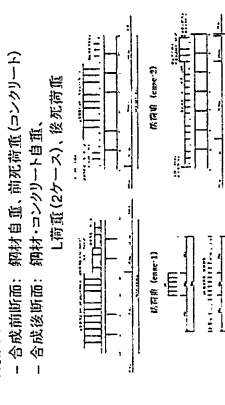


### パワーブリッジ(合成床版橋)

- 解析結果(12) 変形図

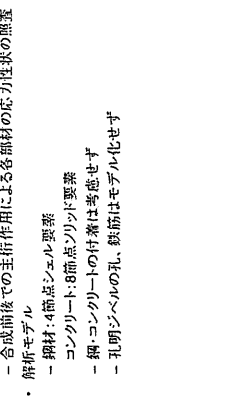


### パワーブリッジ(合成床版橋)

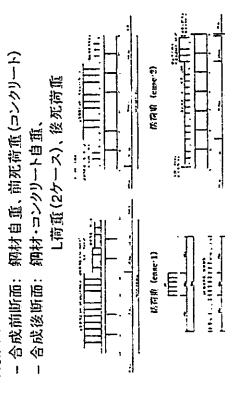


### パワーブリッジ(合成床版橋)

- 解析結果(13) 変形図

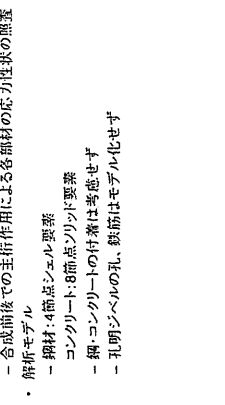


### パワーブリッジ(合成床版橋)



### パワーブリッジ(合成床版橋)

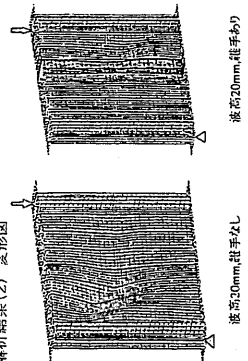
- 解析結果(14) 変形図





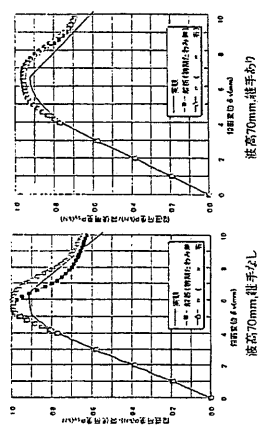
波形ウェブせん断座屈耐力

・ 解析結果(2) 変形図



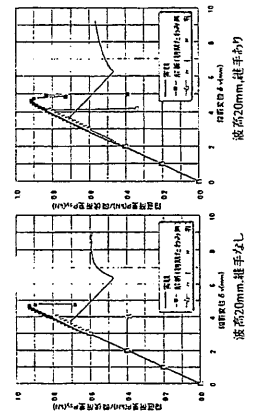
波形ウェブせん断座屈耐力

・ 荷重と拘束変位の関係(1)



波形ウェブせん断座屈耐力

・ 荷重と拘束変位の関係(2)

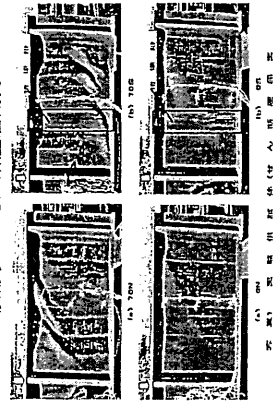


波形ウェブせん断座屈耐力

・ 荷重と拘束変位の関係(3)

解析モデル	解析結果		実験結果
	初期たわみ量	初期たわみ荷	
高さ70mm, 継手なし	1.00	1.00	0.92
高さ70mm, 継手あり	0.96	0.96	0.92
高さ20mm, 継手なし	0.93	0.79	0.71
高さ20mm, 継手あり	0.91	0.83	0.72

波形ウェブせん断座屈耐力



橋梁構造物の解析(終了)

有難うございました。

橋梁系解析事例へ  
 2/11 新潟河川技術情報